

Общероссийский математический портал

А. Н. Фрумкин, Б. Б. Дамаскин, Н. В. Николаева-Федорович, Сверхэквивалентная адсорбция катионов на отрицательно заряженной поверхности ртути,  $\mathcal{L}o$ - $\kappa \Lambda$ .  $AH\ CCCP$ , 1957, том 115, номер 4, 751–754

Использование Общероссийского математического портала Math-Net.Ru подразумевает, что вы прочитали и согласны с пользовательским соглашением

http://www.mathnet.ru/rus/agreement

Параметры загрузки: IP: 83.220.238.254

28 января 2018 г., 18:34:03



## Доклады Академии наук СССР 1957. Том 115, № 4

## ФИЗИЧЕСКАЯ ХИМИЯ

Академик А. Н. ФРУМКИН, Б. Б. ДАМАСКИН и Н. В. НИКОЛАЕВА-ФЕДОРОВИЧ

## СВЕРХЭКВИВАЛЕНТНАЯ АДСОРБЦИЯ КАТИОНОВ НА ОТРИЦАТЕЛЬНО ЗАРЯЖЕННОЙ ПОВЕРХНОСТИ РТУТИ

Обычно при изложении теории электрокапиллярности предполагается, что среди неорганических ионов только анионы обладают специфической адсорбируемостью, а концентрация неорганических катионов в двойном электрическом слое определяется лишь величиной их зарядов (¹). Однако в литературе имеются данные, указывающие на неточностъ подобного вывода. Так, например, в работе Л. М. Штифмана была обнаружена некоторая сверхэквивалентная адсорбция катиона алюминия (²).

Непосредственный вывод о различной адсорбируемости катионов щелочных металлов в 0.1 N растворах хлоридов вытекает из работы Д. Грэма, определившего точные значения дифференциальной емкости в этих растворах (3). Действительно, при потенциалах более отрицательных, чем —0,7 в (против 0,1 н к. э.), наблюдается увеличение емкости при переходе от лития к цезию, а, следовательно, и увеличение заряда Д. Грэму, различие в заряде поповерхности. Однако, согласно верхности, обнаруживаемое при сопоставлении дифференциальных емкостей, целиком сводится к различию в емкости гельмгольцевской части двойного слоя\*. При таком толковании экспериментальных данных Д. Грэма большему отрицательному заряду должно было бы соответствовать более отрицательное значение  $\psi_1$ -потенциала ( $^5$ ). Этот вывод плохо согласуется с экспериментальными данными по влиянию радиуса катиона фона на скорость восстановления анионов. Оказывается, что скорость восстановления анионов  $S_2O_8^{--}$  (6) и  $S_4O_6^{--}$  (7) резко возрастает в ряду  $Li^+ < Na^+ < K^+ < Rb^+ < Cs^+$ , т. е. наблюдается зависимость скорости процесса обратная той, которую естественно было бы ожидать в согласии с выводом Д. Грэма. Более подробное освещение этого вопроса дано в работе А. Н. Фрумкина и Н. В. Николаевой-Федорович (5).

Чтобы избежать противоречия в объяснении экспериментальных данных, проще всего предположить некоторую, хотя и небольшую специфическую адсорбцию катионов с большим радиусом. К этому же выводу приводит изучение температурного коэффициента реакции электровосстановления анионов. Так, в случае восстановления  $S_2O_8^-$  на фоне  $0,01\ N$  NaCl температурный коэффициент этой реакции имеет небольшое положительное значение, на фоне катиона калия той же концентрации он практически равен нулю, а на фоне катиона цезия температурный коэффициент имеет

отрицательное значение (5, 8).

Для проверки предположения о наличии специфической адсорбции катионов были проведены измерения дифференциальной емкости в  $0,01\ N$  растворах хлоридов щелочных металлов. Использованная для измерения схема импендансного моста в принципе не отличалась от схем, описанных в работах Д. Грэма ( $^9$ ) и В. И. Мелик-Гайказяна ( $^{10}$ ). Исследуемым электродом служила висячая ртутная капля.

<sup>\*</sup> В одной из своих работ Д. Грэм указывает, что для объяснения экспериментальных данных по адсорбции катиона  $Cs^+$  этого предположения, возможно, недостаточно (4).

Полученные данные приведены на рис. 1A, на котором изображены кривые дифференциальной емкости, снятые в  $0,01\ N$  растворах хлоридов лития, калия и цезия. Как видно из рисунка, различие в дифференциальной емкости для катионов с различными радиусами наблюдается здесь не только при значительных отрицательных потенциалах, но и вблизи точки нулевого заряда, где на кривых емкости имеется минимум. Действительно, при переходе от лития к цезию разница в значениях емкости вблизи

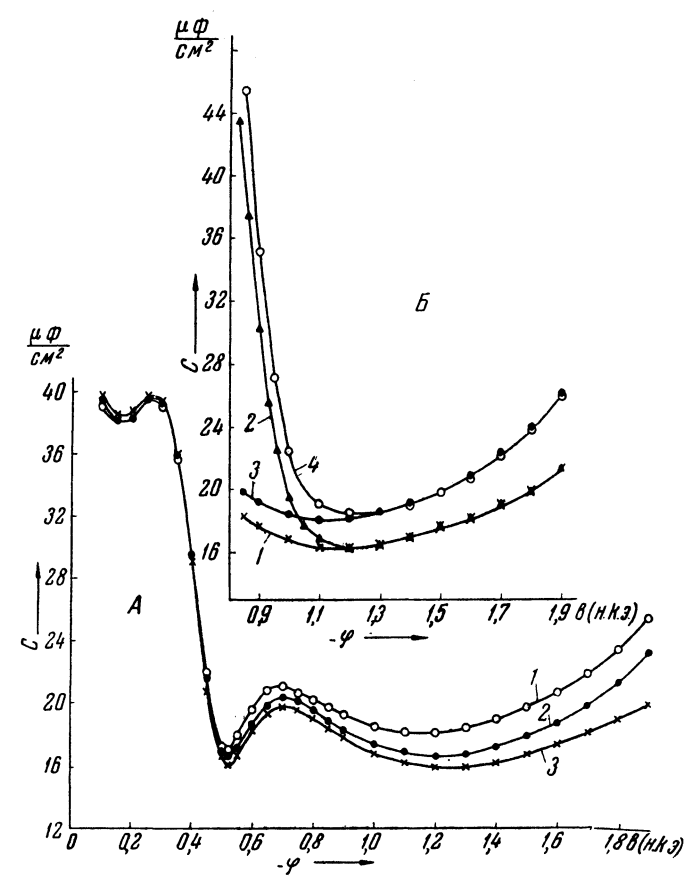


Рис. 1. Кривые дифференциальной емкости A — в 0,01 N растворах CsCl (1), KCl (2) и LiCl (3); частота 400 гц; 25°.  $\mathcal{B}$  — в 0,1 N растворах NaCl (1), NaJ (2), CsCl (3) и CsJ (4); частота 1000 гц; 25°

точки нулевого заряда составляет 1 рф/см². Различие в значениях емкости двойного электрического слоя в растворах хлоридов лития и цезия является дополнительным указанием на наличие специфической адсорбции катиона цезия. Однако, этот вывод нельзя считать однозначным, так как экспериментальные данные, полученные в растворах солей хлоридов щелочных металлов, осложнены адсорбцией Cl<sup>-</sup>. Мы предполагаем в ближайшее время провести измерения емкости в растворах солей фтористого натрия и цезия.

Наиболее убедительные данные, указывающие на наличие сверхэквивалентной адсорбции катионов можно получить, проводя измерения дифференциальной емкости на отрицательно заряженной поверхности электрода в присутствии такого аниона, например J<sup>-</sup>, адсорбция которого в поверхностном слое заметно сказывается на величине дифференциальной отмести.

емкости.

Нами были проведены измерения дифференциальной емкости в  $0,1\ N$  растворах NaCl, NaJ, CsCl и CsJ, а также в растворах  $1,1\ N\ KCl$ ,  $1\ N\ KJ+0,1\ N\ KCl$ ,  $1\ N\ KCl+0,1\ N\ LaCl_3$ ,  $1\ N\ KJ+0,1\ N\ LaCl_3$ . Полу-

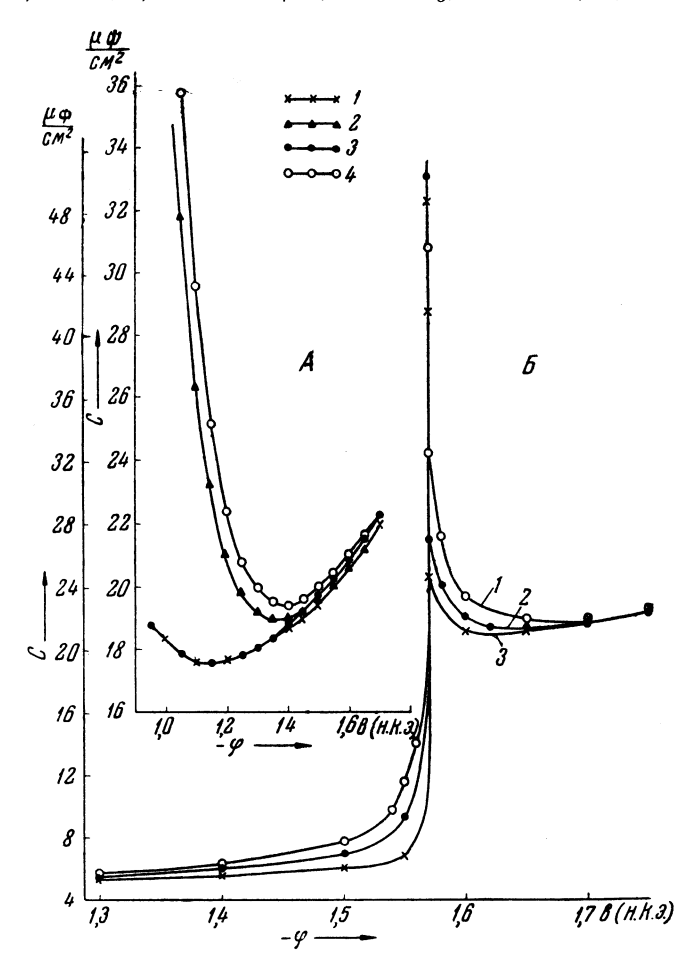


Рис. 2. Кривые дифференциальной емкости. A — в растворах 1,1 N KCi (I), 1 N KJ + 0,1 N KCl (2), 1 N KCl + 0,1 N LaCl $_3$  (3), 1 N KJ + 0,1 N LaCl $_3$  (4), частота 1000 гц; 25°;  $\mathcal{B}$  — в растворах 10-8 N [N ( $\mathbf{C_4H_9}$ ) $_4$ ] $_2$ SO $_4$  в присутствии 1 N KCl (I), 1 N KBr (I) и 1 N KJ (I); частота 1000 гц; 25°

ченные результаты приведены на рис.  $1 \ B$  и  $2 \ A$ . Как видно из приведенных данных, при достаточно отрицательных поляризациях анион йода перестает оказывать влияние, и значения дифференциальной емкости для соответствующих хлоридов и йодидов сходятся. При более отрицательных потенциалах величины емкости определяются только присутствующими в растворе катионами. Однако потенциалы, при которых исчезает различие между величинами емкости для соответствующих хлоридов и йодидов, неодинаковы и зависят от природы катиона. Так, действие йода в случае растворов NaCl и NaJ проявляется до потенциала  $\phi = -1,2 \ B$  (против н. к. э.), а в случае растворов CsCl и CsJ до потенциала  $\phi = -1,3 \ B$  (против н. к. э.), что указывает на некоторую сверхэквивалентную адсорбцию катиона Cs+, отсутствующую в случае катиона Na+. Аналогичный эффект наблюдается также при добавлении к  $1 \ N$  растворам KCl и KJ  $0,1 \ N$  раствора LaCl3. Так, действие иона  $1 \ B$ , которое в растворе  $1,1 \ N$  KCl и  $1 \ N$  KCl и  $1 \ N$  KCl проявляется до потенциала  $0 \ B$  потенциала  $0 \ B$  против н. к. э.), в растворах  $1 \ N$  KCl  $1 \ N$  LaCl3 и  $1 \ N$  KJ  $1 \ N$  KCl и  $1 \ N$  KCl и  $1 \ N$  KCl проявляется до потенциала  $0 \ B$  потенциала  $0 \ B$  против н. к. э.), в растворах  $1 \ N$  KCl  $1 \ N$  LaCl3 и  $1 \ N$  KJ  $1 \ N$  KCl  $1 \ N$  LaCl3 и  $1 \ N$  KJ  $1 \ N$  KCl  $1 \ N$  LaCl3 и  $1 \ N$  KJ  $1 \ N$  KCl  $1 \ N$  LaCl3 и  $1 \ N$  KJ  $1 \ N$  KCl  $1 \ N$  LaCl3 и  $1 \ N$  KJ  $1 \ N$  KCl  $1 \ N$  KCl  $1 \ N$  LaCl3 и  $1 \ N$  KJ  $1 \ N$  KCl  $1 \ N$  KCl  $1 \ N$  KCl  $1 \ N$  KCl  $1 \ N$  LaCl3 и  $1 \ N$  KJ  $1 \ N$  KCl  $1 \ N$  KCl  $1 \ N$  LaCl3 и  $1 \ N$  KCl  $1 \ N$  KCl  $1 \ N$  LaCl3 и  $1 \ N$  KCl  $1 \ N$  KCl  $1 \ N$  KCl  $1 \ N$  LaCl3 и  $1 \ N$  KCl  $1 \ N$  KC

+ 0,1 N LaCl<sub>3</sub> сохраняется до потенциала  $\varphi = -$  1,65 в (против н. к. э.), указывая на некоторую сверхэквивалентную адсорбцию катиона La+++ yказанные явления можно также истолковать. предполагая наличие в двойном электрическом слое ионных пар, например в случае лантана LaJ<sup>++</sup> и LaCl<sup>++</sup>, причем адсорбируемость этих комплексов в первом случае больше, чем во втором. Как видно из рис. 1B и 2A резкое возрастание емкости, связанное с внедрением анионов в двойной электрический слой наблюдается в присутствии  $Cs^+$  или  $La^{+++}$  при более отрицательных потенциалах по сравнению с растворами, содержащими  $Na^+$  или  $K^+$ . Иначе говоря, и в этой области потенциалов адсорбция  $J^-$  облегчается присутствием в поверхностном слое ионов Cs+ или La+++, которые, вероятно, легче адсорбируются на поверхности ртути, перезаряженной иона- $J^-$ , чем ионы  $Na^+$  и  $K^+$ . K выводу о втягивании в двойной слой анионов йода в присутствии

катионов  $Al^{+++}$  пришел также Л. М. Штифман (2) по данным электрокапиллярных измерений. Аналогичные результаты получены нами при изучении пограничного натяжения Hg в растворах  $1N \text{ KCl} + 0, 1N \text{ LaCl}_3$  и  $1N\,{
m KJ} + 0,1N{
m LaCl_3}$ , однако эти данные требуют дополнительной проверки.

Тот факт, что сверхэквивалентная адсорбция катионов может приводить к вхождению анионов в поверхностный слой и при отрицательных потенциалах, особенно ярко выступает в случае адсорбции органических катионов. К этому выводу давно пришел один из нас (11) на основании данных электрокапиллярных измерений в растворах [N  $(C_3H_7)_4$ ] Cl, [N  $(C_3H_7)_4$ ] J и NH $_4$ J. Это явление наблюдается и при измерении емкости ртутного электрода при одновременном присутствии в растворе поверхностно-активного органического катиона и неорганических анионов. При достаточно отрицательных потенциалах катион  $[N(C_4H_9)_4]^+$  десорбируется с поверхности ртути с образованием на кривой дифференциальной емкости характерного пика десорбции (12).

На рис. 2Б приведены данные по зависимости дифференциальной емкости от потенциала в 1N растворах KCl, KBr и KJ в присутствии  $10^{-3}\,N\,[N\,({\rm C_4H_9})_4]_2\,{\rm SO_4}$ . Как видно на рисунке, форма пика десорбции существенно меняется при переходе от  ${\rm Cl^-}$  к  ${\rm J^-}$ . Заметное заострение пика указывает на то, что вместо десорбции в узком интервале потенциалов наблюдается скачкообразное разрушение адсорбционного слоя при вполне определенном потенциале ( $\phi = -1,57$  в против н. к. э.). Зависимость процесса десорбции от природы аниона однозначно указывает на втягивание анионов в поверхностный слой при отрицательных зарядах поверхности ртути. Подход аниона к отрицательно заряженной поверхности облегчается адсорбированными катионами, которые входят в состав обращенной к раствору обкладки двойного слоя.

Поступило 27 VII 1957

## ЦИТИРОВАННАЯ ЛИТЕРАТУРА

<sup>1</sup> D. Grahame, Chem. Rev., 41, 441 (1947). <sup>2</sup> Л. М. Штифман, ДАН, 63, 709 (1948). <sup>3</sup> D. Grahame, J. Electrochem. Soc., 98, 343 (1951). <sup>4</sup> D. Grahame, C. R. 3 Réunion Congr. Intern. Thermodyn. Cinét. Electrochim., Milano, 1952, p. 336. <sup>5</sup> A. Н. Фрумкин, Н. В. Николаева-Федорович, Вестн. МГУ, 1957. <sup>6</sup> А. Н. Фрумкин, Усп. химии, 24, 933 (1955). <sup>7</sup> J. Zezula, Chem. Listy, 47, 492 (1953). <sup>8</sup> C. И. Жданов, В. И. Зыков, ЖФХ, 31 (1957). <sup>9</sup> D. Grahame, J. Ат. Chem. Soc., 68, 301 (1946). <sup>10</sup> В. И. Мелик-Гайказян, ЖФХ, 26, 560 (1952). <sup>11</sup> А. Н. Фрумкин, Электрокапиллярные явления и электродные потенциалы, Одесса, 1919. <sup>12</sup> Н. В. Николаева-Федорович, Б. Б. Дамаскин, Тр. совещ. по вопросам влияния поверхностно-активных вешеств на электроосажление Тр. совещ. по вопросам влияния поверхностно-активных веществ на электроосаждение металлов, Вильнюс, 1957, стр. 33.